

مطالعه‌ی آزمایشگاهی و عددی رفتار باربری و نشست پی‌های دایره‌ای لبه‌دار نسبت به انواع پی‌ها*مسعود مکارچیان^(۲) سجاد قلی‌پور^(۱)

چکیده پی‌های لبه‌دار در حال گسترش به‌عنوان نوع جدیدی از پی‌ها، جایگزین انواع پی‌های متداول در سازه‌های ساحلی و فراساحلی هستند. مطالعه‌ی عملکرد پی‌های لبه‌دار، با تمرکز بر ارزیابی تأثیر هندسه‌ی پی و مشخصات خاک ضروری است. در این پژوهش، ظرفیت باربری و نشست پی‌های دایره‌ای لبه‌دار واقع بر ماسه، تحت بارگذاری قائم فشاری توسط مدل‌سازی فیزیکی و تحلیل عددی با بررسی تأثیر پارامترهای مختلف شامل عمق لبه، قطر پی، چگالی ماسه و زبری سطوح پی مطالعه شد. عملکرد پی‌های لبه‌دار با سایر انواع پی‌های متداول سطحی، نیمه‌عمیق و سطحی مدفون مقایسه شد. تحلیل نتایج مدل‌سازی‌ها نشان داد که رفتار مدل‌های پی لبه‌دار نسبت به پی‌های سطحی، به‌لحاظ افزایش مقادیر ظرفیت باربری و ضریب واکنش بستر و همچنین کاهش میزان نشست، بهبود قابل‌توجهی داشته‌است. مقادیر بهبود عملکرد پی‌های لبه‌دار با افزایش میزان عمق لبه و زبری سطوح مدل‌ها و همچنین کاهش چگالی نسبی ماسه، افزایش یافت. مقایسه‌ی نتایج ظرفیت باربری پی‌های لبه‌دار با مقادیر متناظر پی‌های نیمه‌عمیق نشان داد که رفتار باربری پی‌های لبه‌دار نزدیک به مقادیر متناظر پی‌های نیمه‌عمیق با عمق و قطر یکسان است. مقایسه‌ی عملکرد پی‌های لبه‌دار نسبت به پی‌های سطحی مدفون، بیانگر کاهش بیشتر میزان نشست پی‌های سطحی به‌علت وجود لبه در زیر پی به‌جای مدفون کردن پی و همچنین بهبود بیشتر ظرفیت باربری با افزایش میزان زبری سطوح لبه است.

واژه‌های کلیدی پی لبه‌دار، مدل‌سازی فیزیکی، ظرفیت باربری، پی نیمه‌عمیق.

Experimental and Numerical Study of Load-Bearing and Settlement Behavior of Circular Skirted foundations Compared to other Types of Foundations

S. Gholipour

M. Makarchian

Abstract Skirted foundations are expanding as a new type of alternative foundations for other prevalent foundations in onshore and offshore structures. The study of skirted foundations performance is essential for evaluating the effect of foundation geometry and soil specification. In this research, the bearing capacity and settlement of circular skirted foundations resting on sand under vertical compression loading was studied by physical modeling and numerical analysis with consideration of the effect of different parameters including skirt depth, foundation diameter, sand density and surface roughness of the foundation models. The performance of skirted foundations was compared with common types of surface, semi-deep and embedded foundations. Analysis of results showed that the behavior of skirted foundation models compared to the surface foundations has been improved significantly in terms of the enhancement in the values of bearing capacity and subgrade reaction modulus, as well as the reduction of settlement amounts. Improvement in the performance of skirted foundations was increased by increasing the skirt depth and surface roughness of models, and also, reducing the density of the sand. The comparison of the bearing capacity results of the skirted foundations with the corresponding values of the semi-deep foundations showed that the load-bearing behavior of the skirted foundations is close to those of semi-deep foundations with the same depth and diameter. Comparison of the skirted foundations performance relative to embedded surface foundations represents a further reduction in the settlement amounts of surface foundations due to the skirt existence underneath foundation instead of its embedment in depth, as well as the further improvement of bearing capacity by increasing the surface roughness of the skirt.

Key Word Skirted foundation, Physical modelling, Bearing capacity, Semi-deep foundation.

* تاریخ دریافت مقاله ۹۸/۶/۲۳ و تاریخ پذیرش آن ۹۹/۱۰/۱۰ می‌باشد.

(۱) دانش‌آموخته‌ی دکتری گروه عمران، دانشکده‌ی مهندسی، دانشگاه بوعلی سینا، همدان.

(۲) نویسنده‌ی مسئول، استادیار گروه عمران، دانشکده‌ی مهندسی، دانشگاه بوعلی سینا، همدان.

مقدمه

در طراحی پی‌ها دو معیار اساسی مطرح است که عبارتند از رفتار ظرفیت باربری و نشست. انواع پی‌های متداول دربرگیرنده‌ی پی‌های سطحی، نیمه‌عمیق و عمیق هستند که به‌طور گسترده‌ای در سازه‌ها استفاده می‌شوند. ساخت سازه‌های بلندمرتبه و سنگین به‌صورت ایمن، نیازمند مقادیر باربری بیشتر و نشست کمتری است؛ عدم کفایت پی‌های سطحی، باعث بروز نگرانی در جامعه‌ی مهندسان شده‌است و برای برون‌رفت از مشکلات، به‌سمت استفاده از پی‌های عمیق و نیمه‌عمیق سوق یافته‌اند. پی‌های عمیق به‌دلیل اقناع ملزومات ظرفیت باربری و نشست در سازه‌های بزرگ، می‌توانند کاربرد فراوان داشته‌باشند، ولی وجود برخی مشکلات هم‌چون تجهیزات ساخت و نصب، هزینه‌ی زیاد اجرایی و زمان طولانی نصب، استفاده از پی‌های عمیق را محدود ساخته‌است. توسعه‌ی روش‌های جایگزین به‌منظور تقویت و تأمین ملزومات باربری و نشست پی‌های سطحی و هم‌چنین رفع محدودیت‌های اجرایی مرتبط با پی‌های عمیق، همواره مورد تأکید محققان بوده‌است، به‌همین منظور، روش‌های مختلف تقویت و به‌سازی پی‌های سطحی در دهه‌های گذشته توسعه یافته‌است [1-4].

استفاده از لبه برای تقویت سیستم پی و خاک به‌منظور افزایش میزان باربری و کاهش نشست پی‌های سطحی، مفهوم نسبتاً جدیدی از روش‌های به‌سازی هم‌زمان خاک و پی، تحت عنوان پی‌های لبه‌دار (Skirted Foundations) است که در حال توسعه به‌منظور جایگزینی با سایر پی‌های سطحی، نیمه‌عمیق و عمیق هستند. پی‌های لبه‌دار، پی‌های سطحی تقویت‌شده با صفحات جدارنازک (لبه) مدفون در پیرامون هستند؛ به‌طوری‌که لبه‌ی محیطی با محصورسازی جانبی خاک ضعیف، باعث افزایش قابل‌توجه سختی خاک می‌شود و بارهای سازه را به لایه‌های مستحکم زیرین انتقال می‌دهد. عملیات نصب نسبتاً آسان و زمان کوتاه آن،

صرفه‌جویی اقتصادی قابل‌ملاحظه‌ای را درمقایسه با عملیات اجرایی شمع‌کوبی پی‌های عمیق فراهم می‌کند. پی‌های لبه‌دار به‌طور گسترده‌ای در سازه‌های ساحلی و فراساحلی به‌عنوان پی نیروگاه، سکوی حفاری، مخازن صنایع نفت، گاز و توربین بادی استفاده می‌شوند. علی‌رغم مطالعات گسترده و وجود دانش کافی در ارتباط با معیارهای طراحی و اجرای پی‌های سطحی و عمیق [5-9]، هنوز تحقیقات کافی در مورد عملکرد و مکانیزم رفتاری پی‌های لبه‌دار انجام نشده‌است. با توجه به کاربرد بیشتر پی‌های لبه‌دار در کنار دریا واقع بر خاک ریزدانه، بیشتر مطالعات بر رفتار زهکشی‌نشده متمرکز بوده‌است [10-13]، باین‌حال، وجود پروژه‌های عمرانی گسترده در سواحل دریاها به‌ویژه خلیج فارس و نوع خاک دانه‌ای سواحل، مطالعه‌ی پی‌های لبه‌دار را در خاک‌های ماسه‌ای ضروری می‌سازد.

عملکرد پی‌های لبه‌دار واقع بر بستر خاک ماسه‌ای توسط محققان مختلف بررسی شده‌است که خلاصه‌ای از نتایج ارائه می‌شود:

رفتار انواع پی‌های سطحی واقع بر ماسه با بررسی تأثیر حضور لبه در زیر پی مطالعه شد. نتایج نشان داد که بهبود ظرفیت باربری و کاهش نشست پی‌های سطحی به خصوصیات سازه‌ای و هندسی لبه و پی، مشخصات ماسه و شرایط سطوح تماس پی بستگی دارد [14-16]. مقایسه‌ی نتایج پاسخ بار در برابر نفوذ برای پی‌های لبه‌دار نشان داد که روابط نظری، مقادیر ظرفیت باربری پی‌ها را به‌زای زوایای اصطکاک داخلی حداکثر ماسه، دست‌بالا تخمین می‌زند [17]. تأثیر محصورشدگی خاک‌های دانه‌ای توسط استوانه‌های پلی‌میری بر روی مدل‌های پی دایره‌ای بررسی شد. افزایش نسبت ظرفیت باربری پی تا حدود ۱۷ برابر حالت بدون لبه و هم‌چنین عدم تأثیر عمق مدفون پی سطحی نسبت به تراز بالای استوانه به‌عنوان نتایج مطالعه گزارش شد [18]. نتایج بررسی تأثیر وجود لبه بر مقادیر باربری پی نواری نشان داد که لبه‌های

تأثیر تنش سربار (γD_f) بر عملکرد پی‌های سطحی، ملاحظه می‌شود که افزایش تنش محصورکنندگی خاک و عمق مدفون پی، از عوامل مؤثر بر بهبود عملکرد پی‌ها است که تغییر مکانیزم گسیختگی و افزایش عمق مؤثر می‌تواند باعث افزایش ظرفیت باربری و کاهش نشست پی شود. همچنین براساس روش تعادل حدی، مقادیر ظرفیت باربری پی‌ها تناسب مستقیم با اندازه‌ی سطوح لغزش گوه‌های گسیختگی زیر پی دارد و از روش‌های افزایش سطوح گوه‌های گسیختگی، افزایش عرض پی یا عمق مدفون پی می‌باشد [27].

استفاده از لبه در زیر پی سطحی می‌تواند راه‌حل مناسبی برای مدفون کردن پی در تراز اعماق پایین‌تر خاک جهت افزایش عمق مؤثر پی‌های سطحی و تغییر سطوح لغزش گوه گسیختگی زیر پی باشد. نمای شماتیک مکانیزم و مرزهای سطوح گسیختگی برای پی‌های سطحی و لبه‌دار در شکل (۱) نشان داده شده‌است. مشاهده می‌شود که سطوح گسیختگی پی‌های سطحی به‌دلیل وجود لبه در زیر پی، تا نزدیک نوک لبه گسترش و اندازه‌ی سطوح گسیختگی افزایش یافته‌است. با توجه به وجود لایه‌های متراکم در اعماق پایین‌تر زمین و افزایش مقادیر پارامترهای مقاومتی با افزایش عمق مؤثر، حضور لبه باعث انتقال بار از سطوح ضعیف خاک به بستر مقاوم، مشابه با مکانیزم انتقال بار پی‌های نیمه‌عمیق و عمیق می‌شود و نشست پی نیز کاهش می‌یابد. شکل (۲) جزئیات مکانیزم باربری و انتقال بار پی‌های لبه‌دار را که مشابه پی‌های عمیق و نیمه‌عمیق، شامل مجموع مقاومت‌های باربری کف پی و دیواره‌ی لبه است، نشان می‌دهد. بنابراین با افزایش عمق مؤثر پی از طریق حضور لبه، می‌توان از پی‌های لبه‌دار به‌منظور ارضای ملزومات باربری و نشست و همچنین کاهش عمق مدفون و ابعاد پی سطحی، استفاده نمود.

منعطف نسبت به حالت صلب، مقادیر بهبود ظرفیت باربری بیشتری را به‌دست می‌دهد [19]. اثر هم‌زمان محصورسازی جانبی خاک توسط لبه و تسلیح خاک با ژئوگرید نشان داد که استفاده‌ی هم‌زمان محصورسازی و تسلیح خاک، ظرفیت باربری نهایی پی سطحی را تا حدود $\frac{2}{3}$ برابر نسبت به حالت بدون لایه‌ی ژئوگرید افزایش می‌دهد [20]. عملکرد ظرفیت باربری و نشست پی‌های مربعی واقع بر ماسه‌ی محصورشده به‌صورت جانبی و قائم بررسی شد. استفاده از دیواره‌های فلزی صلب در اطراف پی با عرض بزرگ‌تر از عرض پی سطحی و وجود بستر سنگی زیر پی منجر به بهبود قابل توجه رفتار پی‌های سطحی شد. [21-22]. مطالعه‌ی آزمایشگاهی بر روی پی‌های لبه‌دار واقع بر ماسه، بهبود قابل توجه ظرفیت باربری این نوع پی‌ها را تا حدود ۵ برابر نشان داد [23]. بررسی تأثیر وجود لبه بر پایداری شیب‌های ماسه‌ای نشان داد که عملکرد کلی سیستم به‌لحاظ افزایش باربری و کاهش نشست بهبود قابل توجهی دارد. [24]. ظرفیت باربری پی‌های لبه‌دار، در صورت وجود تغییرشکل خاک نسبت به حالت صلب، کاهش می‌یابد. برخی از محققان، تأثیر وجود لبه‌های میانی بر رفتار باربری پی‌های لبه‌دار محیطی را مطالعه نمودند و فاصله‌ی بهینه‌ی لبه‌ها را به‌منظور جلوگیری از کاهش ظرفیت باربری به‌علت تغییرشکل خاک درون لبه، ارائه دادند [25-26].

برای پی‌های سطحی واقع بر خاک ماسه‌ای، ظرفیت باربری نهایی، q_{ult} ، می‌تواند از رابطه‌ی نظری (۱) تخمین زده شود که در آن γ وزن واحد خاک، D_f عمق مدفون پی، N_q و N_γ ضرایب ظرفیت باربری بر پایه‌ی زاویه‌ی اصطکاک داخلی ماسه (ϕ) ، s_q و s_γ ضرایب شکل، d_q و d ضرایب عمق و B عرض پی هستند [8]:

$$q_{ult} = \gamma D_f N_q s_q d_q + 0.5 \gamma B N_\gamma s_\gamma d_\gamma \quad (1)$$

با در نظرگیری پارامترهای ظرفیت باربری نهایی و

جزئیات و مقادیر پارامترهای ثابت و متغیر در مجموعه‌ی آزمایش‌ها، در جدول (۱) ارائه شده‌است. هم‌چنین نتایج بهبود رفتار پی‌های لبه‌دار به‌لحاظ افزایش ظرفیت باربری و کاهش نشست با مقادیر متناظر انواع پی‌های سطحی، نیمه‌عمیق و مدفون مقایسه شد. پژوهش حاضر نسبت به تحقیقات مشابه قبلی، در موارد ذیل که از جنبه‌های نوآوری تحقیق به‌شمار می‌روند، متمایز است:

۱. برآورد مقادیر ظرفیت باربری، نشست و ضریب واکنش بستر پی‌های لبه‌دار و مقایسه با نتایج پی‌های سطحی، نیمه‌عمیق و سطحی مدفون.
۲. شبیه‌سازی زبری‌های مختلف بر سطوح لبه و پی توسط کاغذ سنباده و بررسی تأثیر آن.

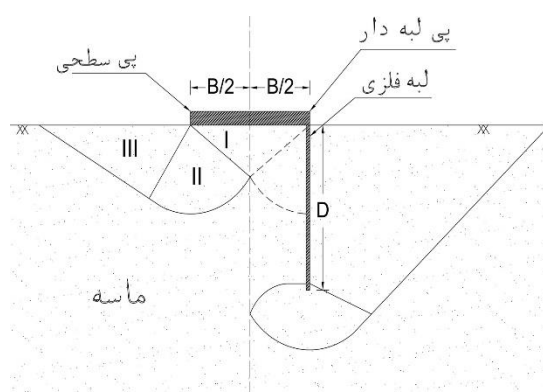
جدول ۱ جزئیات و مقادیر پارامترهای مورد مطالعه

پارامتر متغیر	پارامتر ثابت	سری آزمایش
$D/B = 0, 0.5, 1, 1.5, 2$ $B = 100, 75, 50 \text{ mm}$	$R_d = 0.64$ $\delta = 29^\circ$	الف
$D/B = 0, 0.5, 1, 1.5, 2$ $B = 100, 75 \text{ mm}$ $R_d = 0.5, 0.75$	$\delta = 29^\circ$	ب
$D/B = 0, 0.5, 1, 1.5, 2$ $B = 100, 75 \text{ mm}$ $\delta = 34^\circ, 37^\circ$	$R_d = 0.64$	ج

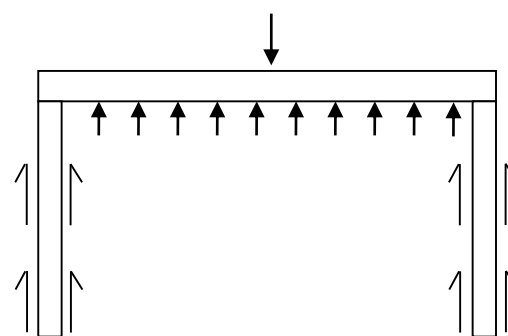
برنامه‌ی مدل‌سازی آزمایشگاهی

دستگاه آزمایش و مدل‌های پی

به‌منظور شبیه‌سازی فیزیکی رفتار پی‌های لبه‌دار واقع بر بستر ماسه، آزمایش‌های مدل‌های کوچک‌مقیاس پی توسط دستگاه آزمایشگاهی به ابعاد $60 \times 60 \times 60 \text{ cm}$ مطابق شکل (۳) انجام شد. به‌منظور نمونه‌سازی و تهیه‌ی بستر یکنواخت ماسه از سیستم ریزش ماسه (Sand raining) استفاده شده‌است. بارگذاری مدل‌های پی توسط جک هیدرولیکی با سرعت بارگذاری 1 mm/min و از طریق میله‌ی بارگذاری در وسط به مدل پی انتقال یافت. از نیروسنج (Load cell) با ظرفیت بارگذاری 1 ton



شکل ۱ الگوی مکانیزم باربری و مرزهای سطوح گسیختگی پی‌های سطحی و لبه‌دار [22]



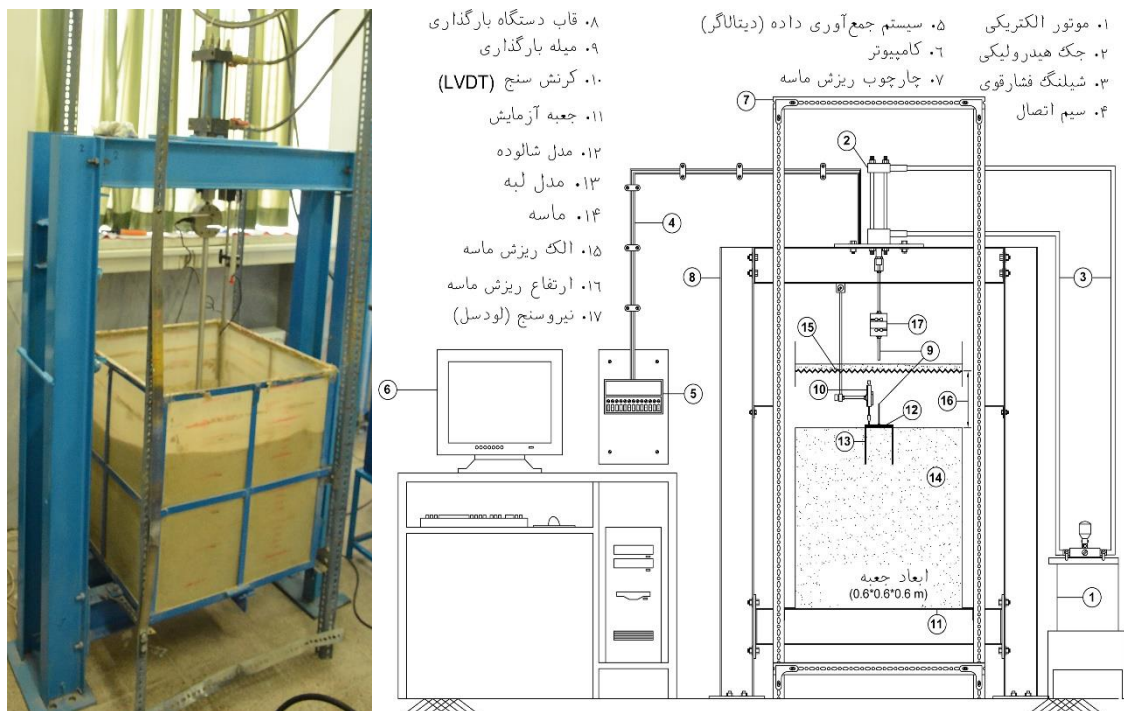
شکل ۲ مکانیزم باربری و انتقال بار پی‌های لبه‌دار [28]

باتوجه به مطالب ارائه‌شده درمورد پی‌های لبه‌دار شامل کاربرد، مزایا و اهمیت مطالعه‌ی رفتار و مکانیزم باربری این نوع پی‌ها و هم‌چنین وجود کاستی‌های موجود در تحقیقات مشابه قبلی، نیاز به بررسی و ارزیابی جامع‌تر، ضرورت دارد. مطالعه‌ی حاضر شامل برنامه‌ی گسترده‌ی عملیات آزمایشگاهی بر روی مدل‌های کوچک‌مقیاس و تحلیل المان‌محدود بر روی مدل‌های کوچک و بزرگ‌مقیاس پی دایره‌ای واقع بر ماسه‌ی محصور شده توسط لبه است. رفتار ظرفیت باربری، نشست و ضریب واکنش بستر پی‌های لبه‌دار با بررسی تأثیر پارامترهای مختلف هندسه‌ی پی و مشخصات خاک شامل قطر پی (B)، عمق لبه (D)، نسبت عمق لبه به قطر پی (D/B)، زبری سطوح فصل مشترک پی و خاک (δ) و دانسیته‌ی نسبی ماسه (R_d) مورد ارزیابی قرار گرفت.

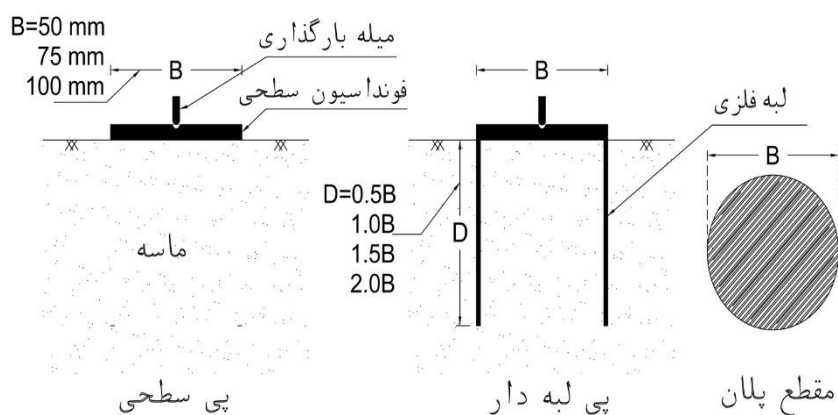
تحلیل حساسیت صورت گرفته و استناد بر مراجع مرتبط [29-31]؛ حداقل فاصله‌ی پی تا جداره‌ی جعبه و زیر لبه تا کف جعبه بایستی به ترتیب $2/5B$ و $3B$ باشد، سه نوع مدل پی با قطرهای ۵، $7/5$ و ۱۰ cm مورد آزمایش قرار گرفت. برپایه‌ی اهداف پژوهش، مطابق شکل (۴)، چهار عمق مختلف لبه متناظر با نسبت‌های عمق لبه به قطر پی برابر با $0/5$ ، ۱، $1/5$ و ۲، برای بررسی پارامتر نسبت عمق لبه و مقایسه با نتایج مدل‌های پی سطحی در نظر گرفته شد. با توجه به میزان کم زبری سطوح مدل‌های پی، به منظور افزایش زبری سطوح مدل‌ها و بررسی تأثیر میزان آن بر نتایج، با چسباندن دو نوع کاغذ سنباده با میزان زبری‌های مختلف بر سطوح پی، مدل‌های پی با سطوح زبر ایجاد شد. شکل (۵) تصاویری از انواع مدل‌های پی با سطوح صاف و زبری مورد استفاده در مدل‌سازی فیزیکی را نشان می‌دهد.

۲ و جابه‌جایی سنج با دقت اندازه‌گیری $0/01$ mm به منظور اندازه‌گیری پاسخ نیرو- نشست مدل‌های پی استفاده شد. همچنین ثبت و انتقال داده‌ها از طریق دستگاه داده‌نگار (Data logger) ۱۶ کاناله‌ی متصل به رایانه انجام گرفت. مدل‌های فولادی پی شامل فونداسیون سطحی به ضخامت ۱۳ mm و لبه به ضخامت جداره‌ی ۳ mm هستند که با اتصال لبه‌ی پیرامونی به فونداسیون سطحی توسط تعدادی پیچ، سیستم پی لبه‌دار تشکیل شد.

ابعاد مدل‌های پی بر اساس ابعاد مخزن آزمایش و با در نظرگیری عدم تأثیر احتمالی شرایط مرزی (شکل مخزن و فواصل مدل از جداره‌ی مخزن) بر نتایج انتخاب شد. در این پژوهش با در نظرگیری فواصل مناسب مدل‌های پی از جداره‌ی مخزن، تأثیر شکل مخزن و شرایط مرزی بر نتایج به حداقل می‌رسد و نمی‌تواند بر مقادیر و روند نتایج اثرگذاری مهمی داشته باشد. بر مبنای



شکل ۳ تصاویری از دستگاه آزمایش مورد استفاده در مطالعه و جزئیات مختلف آن



شکل ۴ جزئیات مدل‌های آزمایشگاهی پی سطحی و لبه‌دار



شکل ۵ تصاویر مدل‌های پی لبه‌دار با ابعاد و زبری مختلف

جدول ۲ مشخصات ماسه‌ی مورد استفاده در مدل‌سازی فیزیکی

مقادیر	پارامتر
SP	نوع خاک (UCSC)
۱/۳۱	ضریب یکنواختی (C_u)
۱/۰۵	ضریب انحنای (C_c)
۲/۶۱	چگالی ویژه (G_s)
۱۷/۴ kN/m ³	وزن واحد خشک حداکثر
۱۴/۶ kN/m ³	وزن واحد خشک حداقل

پارامترهای مقاومت برشی ماسه برحسب سه نوع دانسیته‌ی نسبی مورد مطالعه، توسط آزمایش‌های برش

مشخصات مصالح

ماسه‌ی سیلیسی فیروزکوه با نام SP [32] و مشخصات دانه‌بندی مطابق جدول (۲)، به‌عنوان خاک بستر زیر پی در برنامه‌ی عملیات آزمایشگاهی استفاده شد. آزمایش‌های مدل‌های فیزیکی با مدل‌سازی سه میزان دانسیته‌ی نسبی ماسه برابر با مقادیر ۰/۵، ۰/۶۴ و ۰/۷۵ انجام گرفت که به‌ترتیب متناظر با وزن‌های واحد ۱۵/۹، ۱۶/۳ و ۱۶/۶ kN/m³ هستند. به‌منظور رسیدن به مقادیر دانسیته‌ی نسبی موردنظر در آزمایش‌ها، از روش متداول ریزش ماسه با کنترل نرخ و ارتفاع ریزش ثابت، استفاده شد [33-35].

درون و اطراف لبه تا رسیدن ارتفاع ماسه به تراز سطح فوقانی لبه ادامه یافت. سپس فونداسیون سطحی بر روی لبه قرار گرفت و توسط چهار عدد پیچ به لبه متصل شد. با تکمیل فرایند مدل‌سازی و استقرار مجموعه‌ی سیستم اندازه‌گیری و انتقال نیرو بر روی مدل، بارگذاری توسط جک هیدرولیکی و از طریق میله‌ی مخصوص انجام و داده‌های خروجی توسط داده‌نگار ثبت شد. با افزایش دقت در مراحل مختلف مدل‌سازی، دست‌خوردگی نمونه‌ی ساخته شده، کمترین میزان محتمل را داشت. در فرایند انجام پژوهش، تعدادی از آزمایش‌ها نیز تکرار شد. مقایسه‌ی نتایج پاسخ بار-نشست آزمایش‌های تکرار شده و تطابق خوب نتایج با یکدیگر، نشان‌دهنده‌ی دقت فرایند مراحل مختلف مدل‌سازی فیزیکی بود.

مدل‌سازی عددی

باتوجه به اهمیت پژوهش و بررسی روند نتایج مدل‌های بزرگ‌مقیاس، علاوه بر مدل‌سازی فیزیکی، تعدادی تحلیل عددی نیز توسط نرم‌افزار پلکسیس انجام گرفت. براساس مشخصات هندسه و بارگذاری متقارن مدل‌های پی دایره‌ای (شرایط تقارن محوری)، مدل‌سازی عددی توسط تحلیل دوبعدی انجام شد. از المان‌های مثلثی پانزده‌گره‌ی برای مدل‌سازی مصالح ماسه و شش‌گره‌ی برای مصالح پی و لبه استفاده شد.

به‌منظور بارگذاری مدل‌های پی، روش متداول جابه‌جایی کنترل با اعمال جابه‌جایی سطحی یکنواخت به‌شکل گسترده و به‌میزان درصدی از قطر پی، به‌کار گرفته شد. جزئیات ابعاد شبکه‌ی المان و فواصل مرزهای قائم و افقی از پی و لبه در شکل (۶) مشاهده می‌شود. انتخاب فواصل مناسب مدل‌ها در شرایط مرزی، می‌تواند باعث کاهش اثرگذاری جداره و شکل مخزن بر نتایج مدل‌سازی شود. به‌منظور شبیه‌سازی رفتار تنش- کرنش مصالح، مدل‌های رفتاری الاستیک خطی و الاستوپلاستیک سخت‌شونده (Hardening Soil Model) به‌ترتیب برای پی و ماسه در نظر گرفته شد.

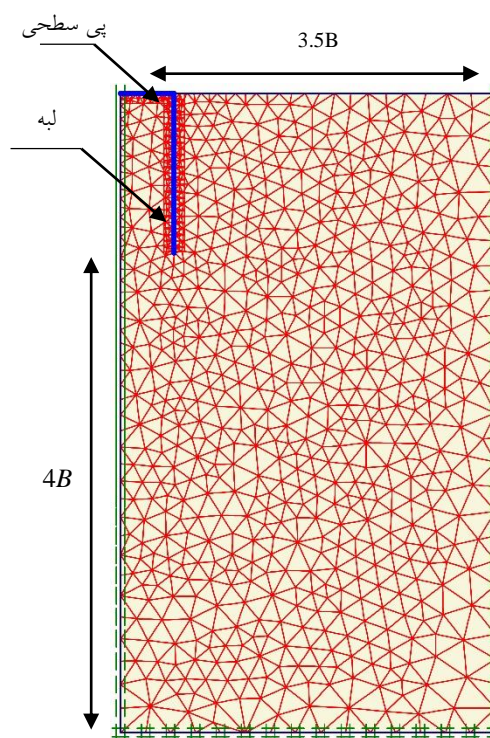
مستقیم و سه‌محوری اندازه‌گیری شد. برای دانسیته‌های نسبی کمتر، مقادیر زوایای اصطکاک داخلی ماسه توسط هر دو آزمایش تقریباً یکسان به‌دست آمد. در حالت ماسه‌ی متراکم و دانسیته‌ی بیشتر، نتایج آزمایش برش مستقیم، حدود ۲ تا ۴ درجه بیشتر از نتایج متناظر آزمایش سه‌محوری مشاهده شد. براساس پوش گسیختگی، متوسط زوایای اصطکاک داخلی ماسه (ϕ) به‌ازای سه دانسیته‌ی نسبی ۰/۵، ۰/۶۴ و ۰/۷۵، به‌ترتیب برابر با ۳۸، ۴۱ و ۴۳ درجه به‌دست آمد. هم‌چنین برای اندازه‌گیری میزان زبری سطوح مدل‌ها، مقادیر زوایای اصطکاک سطوح فصل مشترک مدل‌های پی به‌ازای زبری‌های مختلف با ماسه (δ) توسط دستگاه آزمایش برش مستقیم برپایه‌ی دانسیته‌ی نسبی ۰/۶۴ تعیین شد. براساس نتایج منحنی‌های پوش گسیختگی، میزان زوایای اصطکاک سطوح فصل مشترک مدل‌های با زبری مختلف با ماسه به‌ازای دانسیته‌ی نسبی ۰/۶۴، به‌طور متوسط حدود ۲۹، ۳۴ و ۳۷ درجه به‌دست آمد.

نحوه‌ی مدل‌سازی و انجام آزمایش‌ها

در فرایند مدل‌سازی فیزیکی، به‌منظور تهیه‌ی بستر یکنواخت و همگن ماسه از روش ریزش ماسه درون جعبه‌ی آزمایش استفاده شد. با انجام روغن‌کاری سطوح داخلی جعبه‌ی آزمایش به‌منظور کاهش تأثیر شرایط جداره بر نتایج مدل‌سازی، ماسه در لایه‌های ۵ سانتی‌متری از ارتفاع ثابت و نرخ ریزش یکنواخت به‌ازای دانسیته نسبی مشخص، ریخته شد. با تغییر ارتفاع و نرخ ریزش ماسه، میزان تراکم ماسه قابل تغییر است. در مراحل مختلف نمونه‌سازی، به‌منظور اطمینان از حصول دانسیته‌ی موردنظر، با قرار دادن ظروف با حجم مشخص در نقاط مختلف جعبه، مقادیر دانسیته‌ی ماسه و صحت نمونه‌سازی کنترل شد.

با ریزش ماسه و رسیدن تراز بستر ماسه به عمق موردنظر قرارگیری لبه، لبه‌ی پی در مرکز جعبه و به‌صورت قائم بر روی بستر ماسه قرار گرفته و بارش ماسه

تغییر شکل مدل بر نتایج، مدل‌های پی به صورت کاملاً صلب و فاقد تغییر شکل در نظر گرفته شد. در مدل‌سازی‌ها، سه نوع ماسه با دانسیته و زوایای اصطکاک داخلی و اتساع مختلف مطابق جدول (۳) مورد استفاده قرار گرفت. مقادیر مدول یانگ (E_{50}) ماسه به‌ازای دانسیته‌های مختلف توسط دستگاه آزمایش سه‌محوری تعیین و به‌علت کم بودن عمق مؤثر پی، به صورت ثابت در عمق در نظر گرفته شد. هم‌چنین مقادیر زوایای اتساع خاک (ψ)، برحسب نتایج نمودارهای تغییر حجم آزمایش‌های سه‌محوری و برش مستقیم تعیین شد که با مقادیر به‌دست‌آمده از رابطه‌ی $(\psi = \phi - 30^\circ)$ دارای انطباق خوبی است. مطابق اهداف پژوهش، علاوه بر انجام تحلیل عددی بر روی مدل‌های کوچک مقیاس یکسان با ابعاد مدل‌های فیزیکی، تعدادی مدل با ابعاد بزرگ برابر با قطرهای ۱، ۲ و ۴ m نیز مدل‌سازی شد (شکل ۷). برای بارگذاری مدل‌های پی از روش جابه‌جایی کنترل و برای شبیه‌سازی میزان زبری سطوح فصل مشترک مدل‌های پی و ماسه، از ضرایب کاهش مقاومت $R_{inter} = \tan \delta / \tan \phi$ نسبت تانژانت زوایای اصطکاک سطوح زبر (δ) به تانژانت زوایای اصطکاک داخلی خاک (ϕ) به‌دست‌آمده از آزمایش برش مستقیم) مطابق جدول (۳) استفاده شد.

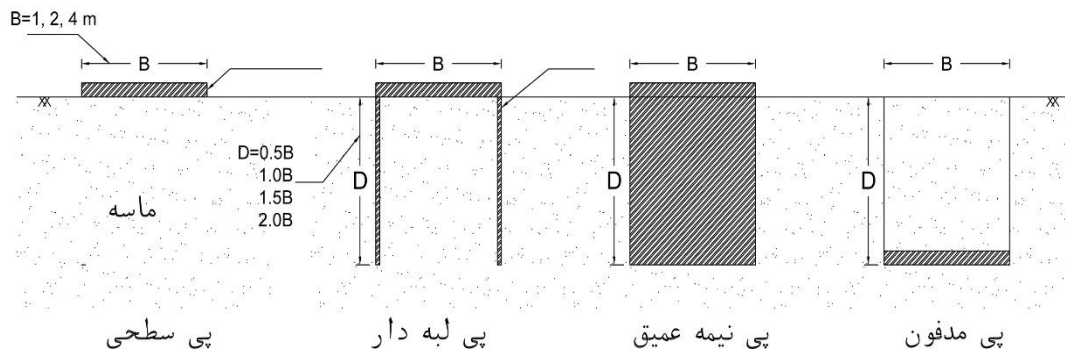


شکل ۶ جزئیات ابعاد شبکه‌ی المان و شرایط مرزی مدل‌سازی

مشخصات فیزیکی و مکانیکی مصالح پی و ماسه به صورت پارامترهای مختلف شامل وزن مخصوص، مدول یانگ، نسبت پواسون، زوایای اصطکاک داخلی، زوایای اتساع و ضریب کاهش مقاومت فصل مشترک در جدول (۳) ارائه شده است. به منظور عدم تأثیر میزان

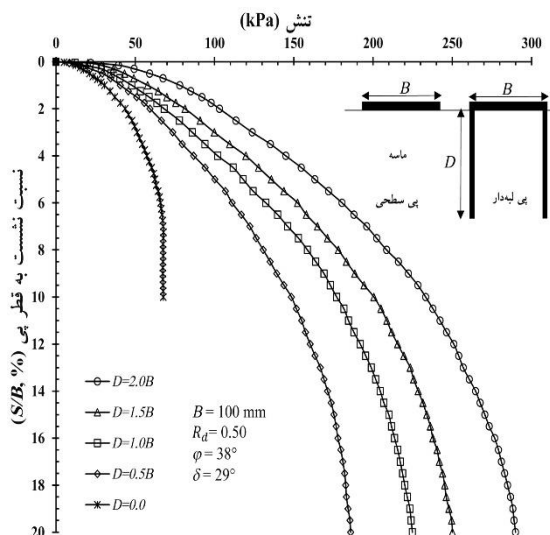
جدول ۳ مشخصات مصالح و پارامترهای مورد استفاده در تحلیل عددی

پارامتر	مدل تنش - کرنش	وزن مخصوص (kN/m^3)	نسبت پواسون	مدول یانگ E_{50} (kN/m^2)	زوایای اصطکاک داخلی (درجه)	زوایای اتساع (درجه)	ضریب کاهش مقاومت فصل مشترک (R_{inter})
ماسه (سه دانسیته‌ی نسبی)	سخت	۱۵/۹ ($R_f=0.5$)	۰/۳	۱۶۰۰۰	۳۸	۸	-
	شونده‌ی	۱۶/۳ ($R_f=0.64$)		۲۱۰۰۰	۴۱	۱۱	
	کرنشی	۱۶/۶ ($R_f=0.75$)		۲۴۰۰۰	۴۳	۱۳	
پی سطحی و لبه (فولاد)	الاستیک خطی	۷۸	۰/۳	$2/1 \times 10^4$	-	-	۰/۶-۰/۹
پی نیمه عمیق و مدفون (بتن)	الاستیک خطی	۲۲	۰/۲	2×10^7	-	-	۰/۶-۰/۹



شکل ۷ جزئیات انواع پی‌های مورد مطالعه در تحلیل عددی

مماس‌ها [36] استفاده شد. برای مدل‌های بزرگ مقیاس تحلیل عددی، با توجه به عدم مشاهده تنش حداکثر در منحنی‌های پی لبه‌دار و به منظور مقایسه‌ی نتایج مدل‌های پی سطحی و لبه‌دار، ظرفیت باربری نهایی مدل‌های پی لبه‌دار به عنوان تنش متناظر با نسبت نشست به قطر پی (S/B) برابر با ۱۰٪ که تقریباً یکسان با مقادیر متناظر تنش‌های نهایی مشاهده شده برای پی‌های سطحی است، در نظر گرفته شد [37]. نتایج ظرفیت باربری نهایی انواع مدل‌های پی لبه‌دار، نیمه‌عمیق و مدفون براساس مدل‌سازی‌های فیزیکی و عددی در جداول (۴) و (۵) ارائه شده است.



شکل ۸ نمونه تیب از منحنی‌های تنش- نشست مدل‌های پی

پی‌های نیمه‌عمیق پی‌هایی با حد وسط بین پی‌های سطحی و عمیق هستند که نسبت به پی‌های عمیق دارای قطرهای نسبتاً بزرگ و عمق کمتر هستند ($D/B < 10$). به منظور مقایسه‌ی عملکرد پی‌های لبه‌دار با پی‌های نیمه‌عمیق (Semi-deep) و مدفون (Embedded) در تراز لبه، تعدادی مدل‌سازی با قطر و عمق مشابه انجام گردید و نتایج مقایسه شد. شکل (۷) جزئیات و ابعاد انواع پی‌های سطحی، لبه‌دار، نیمه‌عمیق و مدفون مورد مطالعه توسط تحلیل عددی را نشان می‌دهد.

نتایج مدل‌سازی‌ها

نتایج آزمایش‌های مدل فیزیکی و شبیه‌سازی عددی جهت بررسی تأثیر وجود لبه زیر پی سطحی بر رفتار ظرفیت باربری و نشست پی‌های سطحی به صورت پاسخ تنش- نشست، مورد ارزیابی قرار گرفت. مقایسه‌ی نتایج نشان داد که استفاده از لبه، رفتار پی‌های سطحی را بهبود می‌بخشد و میزان بهبود با افزایش عمق لبه، افزایش می‌یابد. نتایج پی‌های لبه‌دار با مقادیر متناظر پی‌های نیمه‌عمیق و مدفون مقایسه شد. براساس روند مقایسه‌ی نتایج، عملکرد مناسب و خوب پی‌های لبه‌دار با اختلاف جزئی نسبت به پی‌های نیمه‌عمیق مشاهده می‌شود. شکل (۸) نمونه‌ای از پاسخ‌های تنش- نشست را به ازای مدل‌سازی فیزیکی نشان می‌دهد. به منظور تعیین ظرفیت باربری نهایی مدل‌های پی کوچک مقیاس، از روش تقاطع

جدول ۴ مقادیر ظرفیت باربری نهایی مدل‌های پی لبه‌دار براساس مدل‌سازی فیزیکی

B	۱۰۰ mm					۷۵ mm					۵۰ mm
δ	۲۹°			۳۴°	۳۷°	۲۹°			۳۴°	۳۷°	۲۹°
R_d	۰/۵	۰/۶۴	۰/۷۵	۰/۶۴	۰/۶۴	۰/۵	۰/۶۴	۰/۷۵	۰/۶۴	۰/۶۴	۰/۶۴
D/B	q_{ult} (kPa)										
۰	۵۷	۷۲	۹۳	۷۷	۷۹	۴۸	۵۶	۶۷	۶۳	۶۷	۴۶
۰/۵	۱۶۰	۱۷۴	۲۱۴	۲۰۲	۲۲۲	۱۳۲	۱۵۰	۱۷۳	۱۷۵	۱۹۱	۱۰۹
۱	۱۹۵	۲۱۸	۲۶۲	۲۴۶	۲۶۸	۱۵۸	۱۸۵	۲۰۸	۲۲۶	۲۴۵	۱۳۸
۱/۵	۲۲۳	۲۴۶	۳۰۰	۲۸۰	۳۰۷	۱۷۹	۲۱۲	۲۴۲	۲۵۵	۲۷۹	۱۶۳
۲	۲۶۵	۳۰۱	۳۶۱	۳۳۵	۳۶۰	۲۰۶	۲۴۹	۲۷۷	۲۸۹	۳۱۸	۱۹۱

جدول ۵ مقادیر ظرفیت باربری نهایی مدل‌های پی لبه‌دار، نیمه‌عمیق و مدفون براساس تحلیل عددی

q_{ult} (kPa)	B=۱۰۰ mm, $R_d=0/5$						B=۱۰۰ mm, $R_d=0/75$					
	$\delta=29^\circ$			$\delta=37^\circ$			$\delta=29^\circ$			$\delta=37^\circ$		
D/B	لبه‌دار	نیمه‌عمیق	مدفون	لبه‌دار	نیمه‌عمیق	مدفون	لبه‌دار	نیمه‌عمیق	مدفون	لبه‌دار	نیمه‌عمیق	مدفون
۰/۵	۱۶۰	۱۶۹	۱۶۳	۱۷۱	۱۸۴	۱۷۲	۲۲۷	۲۳۸	۲۲۹	۲۶۵	۲۸۰	۲۵۱
۱	۱۹۶	۲۱۲	۱۹۸	۲۱۹	۲۴۱	۲۱۳	۲۷۶	۲۹۶	۲۹۵	۳۵۶	۳۸۱	۳۲۲
۱/۵	۲۳۰	۲۵۱	۲۳۳	۲۶۷	۲۹۲	۲۵۰	۳۲۶	۳۵۹	۳۴۳	۴۱۸	۴۵۰	۳۸۰
۲	۲۷۴	۲۹۹	۲۷۷	۳۱۱	۳۴۵	۲۸۳	۳۹۰	۴۳۲	۴۰۸	۴۹۸	۵۴۸	۴۴۳
q_{ult} (kPa)	B=۱۰۰ mm, $R_d=0/64$											
	$\delta=29^\circ$			$\delta=34^\circ$			$\delta=37^\circ$					
D/B	لبه‌دار	نیمه‌عمیق	مدفون	لبه‌دار	نیمه‌عمیق	مدفون	لبه‌دار	نیمه‌عمیق	مدفون	لبه‌دار	نیمه‌عمیق	مدفون
۰/۵	۱۸۱	۱۹۳	۱۸۷	۱۹۹	۲۰۸	۱۹۵	۲۲۰	۲۳۰	۲۲۰	۲۳۰	۲۳۰	۲۱۱
۱	۲۲۷	۲۴۵	۲۳۱	۲۵۳	۲۶۸	۲۴۳	۲۸۱	۳۰۴	۲۸۱	۳۰۴	۳۰۴	۲۵۷
۱/۵	۲۶۹	۲۹۲	۲۷۹	۲۹۵	۳۲۰	۲۸۲	۳۳۸	۳۷۲	۳۳۸	۳۷۲	۳۷۲	۳۰۵
۲	۳۱۷	۳۴۳	۳۲۲	۳۵۷	۳۸۶	۳۳۷	۴۰۱	۴۳۶	۴۰۱	۴۳۶	۴۳۶	۳۵۹

(q_{su}, S_{su}) ، مطابق رابطه‌ی (۲) تعریف شد. در محاسبات مربوط به نسبت نشست میان مدل‌های پی لبه‌دار و سطحی، مقادیر نشست پی‌ها در تراز تنش برابر با نصف ظرفیت باربری پی سطحی ($0/5 q_{su}$)، مدنظر قرار گرفت. هم‌چنین برای بررسی تأثیر لبه بر ضریب واکنش بستر، نسبت ضریب واکنش بستر (Subgrade Reaction)

جهت کمی‌سازی عملکرد پی‌های لبه‌دار نسبت به پی‌های سطحی، پارامترهای بی‌بعد نسبت ظرفیت باربری (Bearing capacity ratio (BCR)) و ضریب کاهش نشست (Settlement reduction factor (SRF)) به‌صورت حاصل تقسیم مقادیر ظرفیت باربری و نشست پی‌های لبه‌دار (q_{sk}, S_{sk})، به مقادیر متناظر پی‌های سطحی

بررسی اثر عمق لبه بر عملکرد پی‌های لبه‌دار مطالعه شد و نتایج با مقادیر متناظر پی‌های سطحی برحسب پارامترهای بی‌بعد BCR، SRF و SRMR مقایسه گردید. نتایج نسبت ظرفیت باربری به‌ازای مدل‌های مختلف کوچک و بزرگ‌مقیاس در شکل (۹) ارائه شده‌است. ملاحظه می‌شود که به‌ازای همه‌ی مدل‌های پی با افزایش عمق لبه، مقادیر ظرفیت باربری به‌طور قابل‌توجهی افزایش یافته‌است. علی‌رغم تفاوت در شکل منحنی‌های تنش-نشست و مقادیر ظرفیت باربری نهایی مدل‌های کوچک و بزرگ‌مقیاس، روند کیفی مقادیر BCR یکسان مشاهده شد.

مقایسه‌ی کمی نتایج BCR نشان می‌دهد که مقادیر بهبود ظرفیت باربری مدل‌های بزرگ‌مقیاس، در محدوده‌ی ۱/۷۳ تا ۳/۳۴ است، در صورتی‌که مقادیر متناظر برای مدل‌های کوچک‌مقیاس در محدوده‌ی ۲/۳۱ تا ۴/۹۵ برابر است و این بیانگر میزان بهبود نسبتاً کمتر مدل‌های بزرگ‌مقیاس نسبت به مدل‌های کوچک‌مقیاس است. دلیل اختلاف می‌تواند به تفاوت در منحنی‌های تنش-نشست و نوع روش تعیین ظرفیت باربری نهایی دو نوع مدل نسبت داده شود؛ میزان نسبت نشست متناظر با تنش نهایی در مدل‌های کوچک‌مقیاس تحلیل فیزیکی و عددی به‌طور متوسط حدود ۱۴٪ مشاهده شد، در حالی‌که برای مدل‌های بزرگ‌مقیاس به‌دلیل عدم مشاهده‌ی تنش حداکثر، مقادیر ظرفیت باربری نهایی متناظر با نسبت‌های نشست ۱۰٪ قطر پی در نظر گرفته شد. با توجه به اختلاف در مقادیر نسبت تنش متناظر با ظرفیت باربری نهایی مدل‌های پی کوچک و بزرگ‌مقیاس و روند منحنی‌های تنش-نشست، وجود اختلاف در مقادیر BCR مدل‌های پی با ابعاد مختلف، بدیهی و توجیه‌پذیر است.

(Modulus Ratio (SRMR) مطابق رابطه‌ی (۲)، به‌صورت نسبت‌های ضریب واکنش بستر پی‌های لبه‌دار (k_{sk}) به مقادیر متناظر پی‌های سطحی (k_{su})، ارزیابی شد. قابل ذکر است که مقادیر ضریب واکنش بستر (k_s)، برای مدل‌های مختلف پی از نسبت تقسیم ظرفیت باربری (q) بر میزان نشست متناظر (s) به‌دست آمده‌است و به‌عنوان ضریب فنریت در مدل‌سازی پی‌ها و اندرکنش خاک-سازه استفاده می‌شود.

$$BCR = \frac{q_{sk}}{q_{su}}, SRF = \frac{S_{sk}}{S_{su}}, SRMR = \frac{k_{sk}}{k_{su}} \quad (2)$$

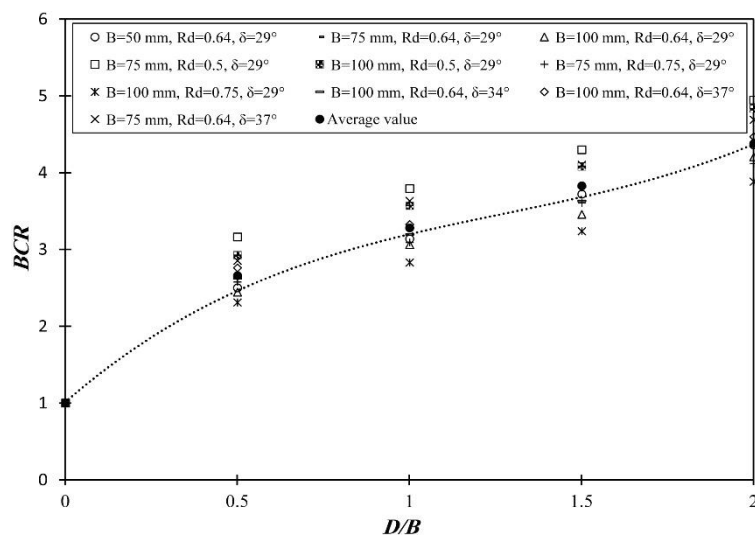
مجموعه‌ای از نمودارهای بدون بعد برحسب تغییرات نسبت ظرفیت باربری، نسبت نشست و نسبت ضریب واکنش بستر برای تخمین میزان ظرفیت باربری، نشست و ضریب واکنش بستر پی‌های لبه‌دار واقع بر ماسه تهیه و توسعه یافته‌است. با توجه به این‌که زوایای اصطکاک داخلی ماسه معمولاً بدون مشخص کردن محدوده‌ی تنش نرمال مؤثر مورد استفاده در آزمایش‌ها ارائه می‌شود، بنابراین در نمودارهای ارائه‌شده، به‌منظور انعکاس تأثیر مقاومت برشی ماسه، از مقادیر دانسیته‌های نسبی به‌جای زوایای اصطکاک داخلی ماسه استفاده شده‌است.

تحلیل، بحث و بررسی نتایج

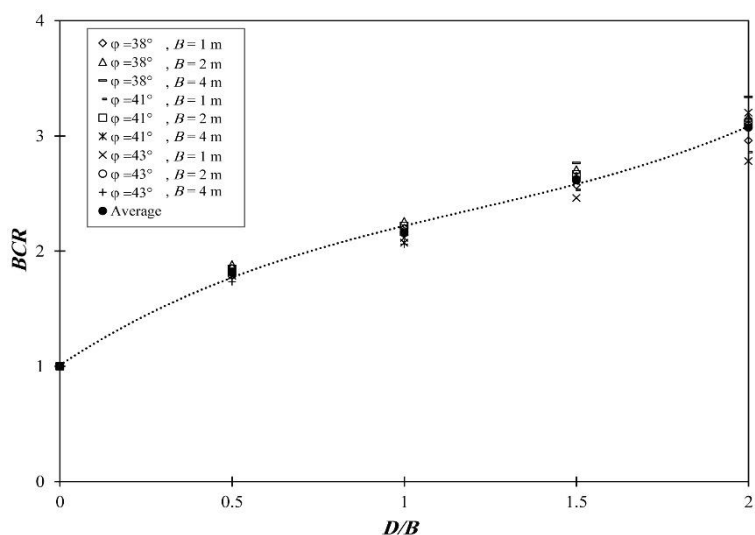
نتایج کلی تحلیل مدل‌های کوچک و بزرگ‌مقیاس پی‌های لبه‌دار، بیانگر افزایش قابل‌توجه ظرفیت باربری، کاهش نشست و بهبود ضریب واکنش بستر پی‌های سطحی ناشی از حضور لبه است. در این بخش تأثیر هر یک از پارامترهای نسبت عمق لبه، قطر پی، زبری سطوح لبه و دانسیته‌ی نسبی ماسه بر میزان بهبود عملکرد پی‌های لبه‌دار تحلیل شده‌است و میزان کارایی پی‌های لبه‌دار نسبت به پی‌های نیمه‌عمیق و مدفون بررسی می‌شود.

بررسی تأثیر نسبت عمق لبه به قطر پی

نسبت‌های مختلف عمق لبه به قطر پی (D/B)، به‌منظور



(الف)



(ب)

شکل ۹ تغییرات نسبت ظرفیت باربری در برابر نسبت عمق لبه: (الف) مدل‌های کوچک مقیاس، (ب) مدل‌های بزرگ مقیاس

نشست با نسبت عمق D/B ، دارای تناسب مستقیمی است. روند کاهش نشست به‌ازای همه‌ی پارامترها، علی‌رغم وجود اختلاف جزئی در مقادیر SRF ، تقریباً مشابه است؛ به‌طوری‌که مقادیر ضریب کاهش نشست در محدوده‌ی $0/08$ تا $0/64$ به‌دست آمد. تحلیل نتایج نشان داد که با افزایش عمق لبه زیر مدل‌های پی، میزان نشست پی‌های سطحی به‌طور متوسط حداقل 44% و حداکثر 88% کاهش یافته‌است. میزان کارآمدی لبه‌ی زیر پی

باتوجه به محدودیت ظرفیت باربری پی‌های سطحی واقع بر خاک‌های نشست‌پذیر به‌دلیل نشست‌های بیش از حد، استفاده از لبه برای کاهش نشست می‌تواند مفید و کارآمد باشد. تأثیر حضور لبه بر میزان کاهش نشست مدل‌های پی سطحی برحسب تغییرات مقادیر SRF در شکل (۱۰) ارائه شده‌است.

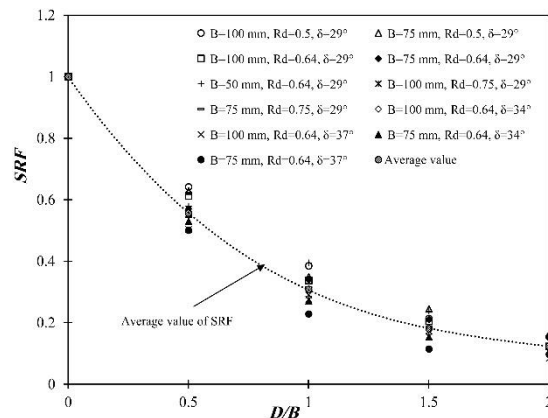
مشاهده می‌شود که وجود لبه، نشست پی سطحی را به‌طور قابل‌توجهی کاهش می‌دهد و میزان کاهش

عملکرد پی لبه دار بررسی شد. تغییرات نسبت ظرفیت باربری برحسب دانسیته‌ی نسبی در شکل (۱۱-الف) ارائه شده است. از روند نتایج مشاهده می‌شود که کارآمدی و تأثیر حضور لبه در زیر پی‌های واقع بر ماسه با دانسیته‌ی نسبی کمتر، بیشتر است؛ به عبارت دیگر، بهبود در مقادیر BCR با کاهش دانسیته‌ی نسبی ماسه افزایش می‌یابد. تحلیل نتایج نشان داد که مقادیر بهبود ظرفیت باربری پی‌های لبه دار به ازای دانسیته‌ی نسبی ۵۰٪ نسبت به مقدار ۷۵٪، به طور متوسط حدود ۲۴٪ افزایش دارد که بیانگر پتانسیل بیشتر بهبود عملکرد لبه در خاک ماسه‌ای با تراکم سست تا متوسط است.

بررسی تأثیر دانسیته‌ی نسبی بر مقادیر کاهش نشست برحسب ضریب کاهش نشست نشان می‌دهد که میزان کاهش نشست متناسب با دانسیته‌ی نسبی ماسه است و با افزایش مقدار دانسیته، مقادیر SRF کاهش بیشتری دارد. به طور نمونه، با افزایش دانسیته‌ی نسبی از مقدار ۵۰٪ به ۷۵٪، مقادیر SRF به طور متوسط حدود ۲۶٪ بهبود داشته و باعث کاهش بیشتر نشست مدل‌های پی لبه دار نسبت به پی سطحی شده است.

به منظور ارزیابی میزان تأثیر زبری سطوح پی و لبه بر عملکرد و کارآمدی پی‌های لبه دار و مقایسه با مصالح بتن مورد استفاده در عملیات اجرایی پی‌ها، سه میزان زبری متفاوت، برحسب زاویه‌ی اصطکاک فصل مشترک (δ) برابر با 29° ، 34° ، 37° به ازای مدل‌سازی‌های فیزیکی و ضریب کاهش مقاومت $R_{inter}=0/6-0/9$ برای تحلیل عددی در نظر گرفته شد. شکل (۱۱-ب) تغییرات مقادیر BCR را به ازای زبری‌های مختلف نشان می‌دهد که بیانگر بهبود عملکرد پی‌های لبه دار از نظر افزایش ظرفیت باربری و کاهش نشست، با افزایش میزان زبری سطوح تماس پی با ماسه است؛ براساس تحلیل نتایج، متوسط بهبود ظرفیت باربری و کاهش نشست با افزایش زبری سطوح نسبت به حالت صاف، به ترتیب حدود ۱۱٪ و ۲۹٪ به دست آمد.

سطحی علاوه بر افزایش ظرفیت باربری، در قابلیت کاهش نشست قابل توجه پی نیز به وضوح مشاهده می‌شود. به طوری که استفاده از پی‌های لبه دار در خاک‌های ضعیف، رفع محدودیت پی‌های سطحی را به لحاظ ملزومات باربری و نشست توجیه می‌کند.



شکل ۱۰ تغییرات ضریب کاهش نشست در برابر عمق لبه

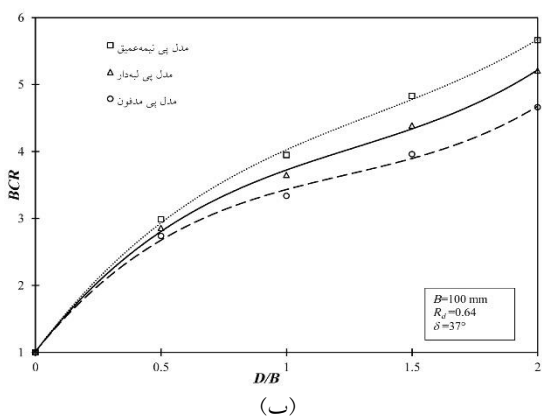
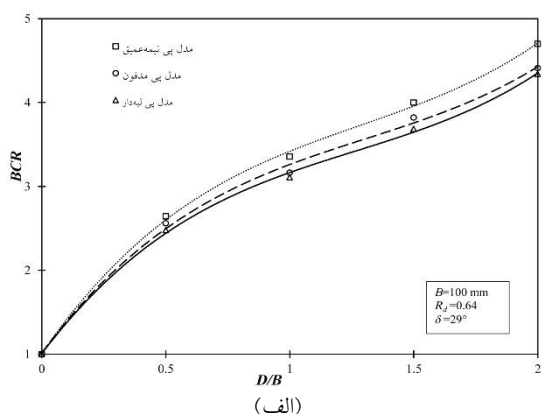
برپایه‌ی افزایش میزان ظرفیت باربری و کاهش نشست پی‌های سطحی ناشی از لبه و همچنین وجود رابطه‌ی تئوری میان ظرفیت باربری، نشست و ضریب واکنش بستر؛ تغییرات مقادیر نسبت ضریب واکنش بستر SRMR، به دست آمد. نتایج نشان داد که ضریب واکنش بستر مدل‌های پی لبه دار متناسب با افزایش نسبت عمق لبه و نسبت نشست، به میزان قابل ملاحظه‌ای افزایش می‌یابد؛ به طوری که صرف نظر از پارامترهای مختلف و به ازای نسبت‌های نشست تا ۲۰٪، مقادیر بهبود در محدوده‌ی ۱/۸ تا ۵/۲ برابر مقادیر متناظر پی‌های سطحی به دست آمده است.

بررسی تأثیر دانسیته‌ی نسبی ماسه و زبری سطوح لبه

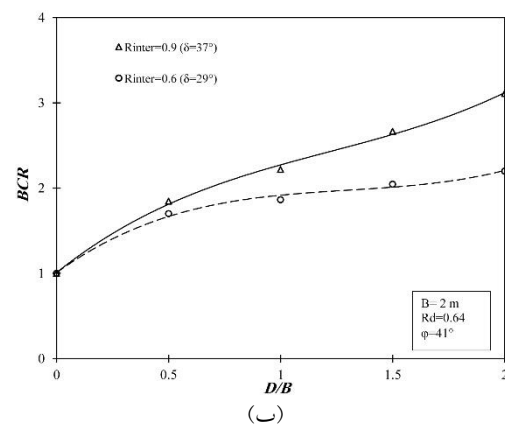
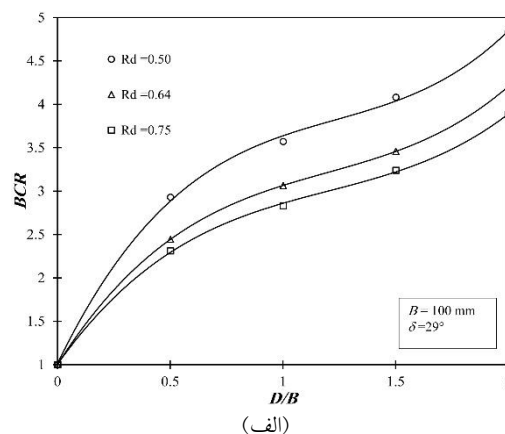
دانسیته‌ی خاک یکی از پارامترهایی است که معمولاً در میزان ظرفیت باربری و نشست پی‌ها نقش مهمی را ایفا می‌کند. به همین منظور برای ارزیابی اثر دانسیته‌ی نسبی ماسه، تأثیر سه نوع دانسیته‌ی نسبی ۵۰٪، ۶۴٪ و ۷۵٪ بر

به‌طور متوسط بین ۱۰٪ تا ۱۵٪ بیشتر از پی‌های لبه‌دار است.

مقایسه‌ی نتایج BCR به‌دست‌آمده از تحلیل عددی به‌ازای مدل‌های پی لبه‌دار و نیمه‌عمیق در شکل (۱۲) ارائه شده‌است. ملاحظه می‌شود که مقادیر ظرفیت باربری نهایی پی‌های نیمه‌عمیق به‌طور متوسط حدود ۷/۵٪ بیشتر از مقادیر پی‌های لبه‌دار به‌دست آمده‌است که بیانگر عملکرد نزدیک پی‌های لبه‌دار نسبت به پی‌های نیمه‌عمیق است. در تفسیر عملکرد نزدیک پی‌های لبه‌دار و نیمه‌عمیق می‌توان گفت که با محصورسازی جانبی ماسه توسط لبه و افزایش عمق مؤثر پی، مکانیزم گسیختگی عمیق‌تر می‌شود و همانند پی‌های نیمه‌عمیق، بار در تراز نوک لبه به خاک انتقال داده می‌شود.



شکل ۱۲ مقایسه‌ی تغییرات نسبت ظرفیت باربری مدل‌های پی لبه‌دار، نیمه‌عمیق و مدفون: الف) $\delta=29^\circ$ ب) $\delta=37^\circ$ با وجود این‌که یکی از روش‌های متداول جهت



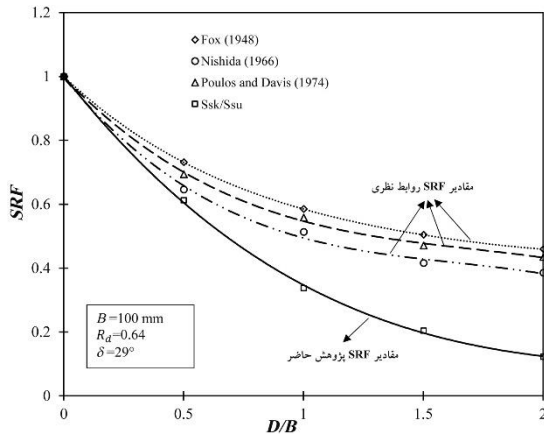
شکل ۱۱ تغییرات نسبت ظرفیت باربری مدل‌های پی لبه‌دار: الف) تأثیر دانسیته‌ی نسبی ماسه، ب) تأثیر میزان زبری سطوح

مقایسه‌ی رفتار پی‌های لبه‌دار با نیمه‌عمیق و

مدفون

یکی از اهداف اصلی این پژوهش، مقایسه‌ی عملکرد پی‌های لبه‌دار نسبت به سایر انواع پی‌های سطحی، نیمه‌عمیق و مدفون است. به‌منظور ارزیابی میزان کارایی پی‌های لبه‌دار نسبت به پی‌های نیمه‌عمیق، نتایج آزمایشگاهی مدل‌های پی لبه‌دار به‌لحاظ ظرفیت باربری با نتایج متناظر روابط نظری پی‌های نیمه‌عمیق و هم‌چنین نتایج مدل‌سازی عددی مقایسه شد. برای تخمین مقادیر ظرفیت باربری پی‌های نیمه‌عمیق از روابط پیشنهادی محققان مختلف برای این نوع پی‌ها [8, 38-40]، استفاده شد و با نتایج متناظر مدل‌های فیزیکی پی‌های لبه‌دار مورد مقایسه قرار گرفت. ارزیابی نتایج نشان داد که مقادیر ظرفیت باربری پی‌های نیمه‌عمیق با عمق و قطر یکسان،

اعماق متناظر با نسبت عمق D/B ، از طریق ضرایب اصلاحی نشست پیشنهاد شده توسط محققان مختلف [41-43]، مطابق شکل (۱۳) مقایسه شد.



شکل ۱۳ مقایسه‌ی ضریب کاهش نشست پی‌های لبه‌دار و سطحی مدفون بر پایه‌ی نتایج مدل‌سازی فیزیکی و روابط نظری

از روند منحنی‌ها ملاحظه می‌شود که پی‌های لبه‌دار به‌ازای هم‌ی نسبت‌های عمق لبه، مقادیر نشست پی‌های سطحی را نسبت به پی‌های مدفون، بیشتر کاهش می‌دهند. اختلاف میزان کاهش نشست برای دو نوع پی، به‌ازای نسبت‌های کمتر عمق لبه، حداقل میزان بوده و با افزایش عمق لبه، عملکرد لبه در قابلیت کاهش نشست بهتر شده‌است؛ بنابراین استفاده از لبه در زیر پی‌های سطحی که منجر به افزایش عمق مؤثر پی می‌شود، در مقایسه با افزایش عمق مدفون پی دارای عملکرد بهتری به‌لحاظ کاهش نشست است که بیانگر سودمندی و مزیت پی‌های لبه‌دار در میزان کاهش نشست نسبت به پی‌های سطحی مدفون است.

در حالت کلی، پی‌های لبه‌دار در مقایسه با پی‌های نیمه‌عمیق و سطحی مدفون، به‌لحاظ افزایش ظرفیت باربری و کاهش نشست دارای عملکرد خوبی هستند.

مقایسه‌ی نتایج

به‌منظور بررسی صحت و دقت نتایج آزمایش‌های مدل

بهبود ظرفیت باربری و نشست پی‌های سطحی، افزایش سربار از طریق افزایش عمق مدفون پی‌ها است، با این حال به‌علت محدودیت‌های اجرایی هم‌چون نیاز به گودبرداری، استفاده از لبه در زیر پی‌های سطحی به‌عنوان جایگزین پی‌های مدفون اهمیت بیشتری یافته‌است. بنابراین مقایسه‌ی عملکرد دو نوع پی می‌تواند میزان کارآمدی پی‌های لبه‌دار را نسبت به پی‌های سطحی مدفون مشخص نماید.

نتایج BCR پی‌های لبه‌دار و سطحی مدفون در تراز لبه، مطابق شکل (۱۲) مقایسه شده‌است. مشاهده می‌شود که علی‌رغم مشابهت روند منحنی‌ها، مقادیر ظرفیت باربری مدل‌های پی لبه‌دار نسبت به پی مدفون برحسب میزان زبری سطوح مدل‌ها متغیر است. مقایسه‌ی کمی نتایج نشان داد که مقادیر ظرفیت باربری مدل‌های پی لبه‌دار با سطوح زبری بیشتر، به‌طور متوسط حدود ۸٪ بیشتر از مقادیر متناظر پی‌های مدفون است که عملکرد خوب و قابل قبول پی‌های لبه‌دار با سطوح زبر را نسبت به پی‌های مدفون منعکس می‌کند.

برای مدل‌های با سطوح صاف، ظرفیت باربری پی‌های لبه‌دار حدود ۲۰٪ کمتر از مقادیر متناظر پی‌های مدفون به‌دست آمد. میزان اختلاف در نتایج باربری دو نوع مدل پی، با افزایش میزان زبری سطوح پی، دانسیته‌ی نسبی ماسه و نسبت عمق لبه به قطر پی افزایش می‌یابد، بنابراین می‌توان اذعان نمود که عملکرد پی‌های لبه‌دار در مقایسه با پی‌های مدفون، به‌مقدار زیادی وابسته به میزان زبری سطوح لبه است؛ با افزایش زبری، میزان باربری پی‌های لبه‌دار نسبت به پی‌های مدفون بهتر می‌شود و با کاهش زبری، باربری کاهش می‌یابد.

باتوجه به نتایج کاهش مقادیر نشست پی‌های سطحی ناشی از وجود لبه در زیر پی، عملکرد مدل‌های پی لبه‌دار از نظر پتانسیل میزان کاهش نشست نسبت به پی مدفون در تراز متناظر با نوک لبه، بررسی و مقایسه شد؛ مقادیر نشست مدل‌های پی لبه‌دار برحسب ضریب کاهش نشست، با مقادیر نشست پی سطحی مدفون در

دانشیته‌ی نسبی ماسه ۰/۴۴٪، در حدود ۲/۲ تا ۵/۶ به دست آمده است [21-22]. هم‌چنین ارزیابی و مطالعه‌ی رفتار مدل‌های پی مربعی به عرض ۱۰ cm واقع بر ماسه با دانشیته‌ی نسبی ۰/۶۴٪ توسط مدل‌سازی فیزیکی، افزایش مقادیر ظرفیت باربری را در محدوده‌ی ۱/۴۱ تا ۴/۶۴ نشان داد [14].

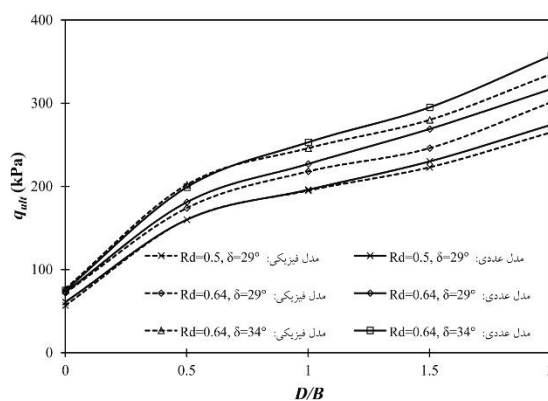
باتوجه به روند نتایج می‌توان گفت که دلایل اختلاف موجود در نتایج، نیاز به بررسی و تحقیق بیشتری دارد؛ با این وجود، اختلاف در نتایج گزارش شده می‌تواند به تفاوت‌های موجود در شرایط انجام آزمایش‌ها، ابعاد مدل‌های پی، مقادیر پارامترها و جنس مصالح مورد استفاده برای مدل‌ها نسبت داده شود. به‌عنوان نمونه، جنس مصالح مورد استفاده برای مدل پی و لبه، توسط محققان مختلف متفاوت است و یکسان نیست که این موضوع منجر به تفاوت در صلبیت مدل‌ها و تناقض در نتایج تنش-نشست پی‌ها می‌شود. هم‌چنین تفاوت در دانشیته‌ی نسبی ماسه، زبری سطوح مدل‌ها و نوع روش تعیین مقادیر ظرفیت باربری نهایی، می‌تواند از دیگر دلایل اختلاف در نتایج مطالعه‌های مشابه باشد. به‌طور کلی، دلایل واقعی اختلاف نتایج محققان مختلف و هم‌چنین میزان سهم هرکدام از علل مذکور، نیاز به تحقیق و بررسی بیشتر و جامع‌تری دارد.

نتیجه‌گیری

در این پژوهش مجموعه‌ای از آزمایش‌های فیزیکی و تحلیل‌های عددی به‌منظور مطالعه‌ی تأثیر وجود لبه در زیر پی‌های سطحی به‌لحاظ میزان بهبود ظرفیت باربری و کاهش نشست، انجام شد. تأثیر پارامترهای مختلف قطر پی، نسبت عمق لبه به قطر پی، میزان زبری سطوح مدل و دانشیته‌ی نسبی خاک بر رفتار پی‌های لبه‌دار بررسی شد. از مهم‌ترین نتایج پژوهش، می‌توان به‌طور خلاصه به موارد ذیل اشاره نمود؛

۱. محصورسازی جانبی ماسه ناشی از حضور لبه پیرامون پی سطحی، باعث افزایش مقادیر ظرفیت باربری پی

فیزیکی و تحلیل عددی و هم‌چنین بررسی میزان تطابق نتایج، ظرفیت باربری نهایی مدل‌های پی کوچک‌مقیاس اندازه‌گیری شده توسط مدل‌سازی فیزیکی و عددی، مطابق شکل (۱۴) مورد مقایسه قرار گرفت. نتایج نشان داد که روند منحنی‌ها و مقادیر کمی ظرفیت باربری با اختلاف جزئی و ناچیز، دارای تطابق قابل قبول و خوبی هستند. براساس مقایسه‌ی نتایج، میزان ظرفیت باربری نهایی تحلیل عددی به‌طور متوسط حدود ۰/۴٪ بیشتر از مقادیر متناظر مدل‌های آزمایشگاهی به‌دست آمد.



شکل ۱۴ مقایسه‌ی ظرفیت باربری نهایی مدل‌های کوچک‌مقیاس پی لبه‌دار اندازه‌گیری شده توسط مدل‌سازی فیزیکی و عددی

هم‌چنین مقایسه‌ی نتایج نسبت ظرفیت باربری پی‌های لبه‌دار در این پژوهش با نتایج متناظر مطالعات مشابه، وجود تفاوت‌هایی در مقادیر بهبود ظرفیت باربری ناشی از حضور لبه در زیر پی سطحی را نشان داد؛ به‌عنوان نمونه، براساس نتایج انجام آزمایش فیزیکی بر روی مدل‌های پی به قطر ۷/۵ cm و لبه‌ی استوانه‌ای از جنس پلیمر واقع بر بستر ماسه با دانشیته‌ی نسبی ۰/۷۶٪ [18]، مقدار بهبود نسبت ظرفیت باربری را به‌ازای نسبت عمق ۲، حدود ۱۰٪ گزارش داده است که به‌طور قابل توجهی بیشتر از مقادیر اندازه‌گیری شده در این تحقیق است.

براساس مدل‌سازی فیزیکی و عددی انجام گرفته در مطالعه مشابه دیگری، میزان بهبود در مقادیر ظرفیت باربری برای مدل‌های پی مربعی به‌عرض ۱۲ cm و

۵. مقادیر بهبود رفتار پی های لبه دار، با افزایش میزان زبری سطوح پی و لبه، افزایش می یابد.
۶. براساس مقایسه‌ی نتایج تحلیل عددی مدل های پی لبه دار و پی نیمه عمیق، مقادیر ظرفیت باربری نهایی پی های لبه دار نزدیک به مقادیر متناظر پی های نیمه عمیق مشاهده شد.
۷. عملکرد پی های لبه دار در مقایسه با پی های مدفون، به مقدار زیادی وابسته به میزان زبری سطوح لبه است؛ با افزایش زبری سطوح، میزان ظرفیت باربری پی های لبه دار نسبت به پی های مدفون افزایش، و با کاهش زبری، کاهش می یابد.
۸. مقایسه‌ی نتایج مدل های پی لبه دار با نتایج متناظر پی های نیمه عمیق و مدفون نشان داد که لبه با انتقال بارهای سازه به اعماق پایین تر و بهبود عملکرد باربری و نشست، می تواند به عنوان روش مناسب در جهت تقویت و به سازی پی در نظر گرفته شود.
- می شود. بسته به پارامترهای مختلف، نسبت ظرفیت باربری به ازای مدل های فیزیکی کوچک مقیاس در محدوده‌ی ۲/۳۱ تا ۴/۹۵ به دست آمد.
۲. وجود لبه پیرامون پی سطحی، پاسخ تنش- نشست را تغییر می دهد و همراه با افزایش مقادیر ظرفیت باربری، نشست پی را به طور قابل توجهی کاهش می دهد. حداکثر کاهش نشست در حدود ۹۲٪ به دست آمد.
۳. استفاده از لبه، ضریب واکنش بستر مدل های پی سطحی دایره ای واقع بر بستر ماسه را متناسب با افزایش نسبت نشست، افزایش می دهد.
۴. بهبود در نسبت ظرفیت باربری با کاهش دانسیته‌ی نسبی ماسه افزایش می یابد. به عبارت دیگر، بیشترین کارایی پی های لبه دار از نظر بهبود ظرفیت باربری، در خاک های ماسه ای سست و با تراکم متوسط حاصل شد.

مراجع

1. Binquet, J., and Lee, K. L., "Bearing Capacity Analysis of Reinforced Earth Slabs", *Journal of Geotechnical and Geoenvironmental Engineering*, Vol. 101, Pp. 201-224, (1975).
2. Consoli, N.C., Prietto, P.D., and Ulbrich, L.A., "Influence of Fiber and Cement Addition on Behavior of Sandy Soil", *Journal of Geotechnical and Geoenvironmental Engineering*, Vol. 124, No. 12, Pp. 1211-1214, (1998).
3. Dash, S., Rajagopal, K., and Krishnaswamy, N., "Performance of Different Geosynthetic Reinforcement Materials in Sand Foundations", *Geosynthetics International*, Vol. 11, No. 1, Pp. 35-42, (2004).
4. Mayne, P.W., Jones, J.S., and Dumas, J.C., "Ground Response to Dynamic Compaction", *Journal of Geotechnical Engineering*, Vol. 110, No. 6, Pp. 757-774, (1984).
5. Zadroga, B., "Bearing Capacity of Shallow Foundations on Noncohesive Soils", *Journal of Geotechnical Engineering*, Vol. 120, No. 11, Pp. 1991-2008, (1994).
6. Eslami, A., and Fellenius, B.H., "Pile Capacity by Direct CPT and CPTu Methods Applied to 102 Case Histories", *Canadian Geotechnical Journal*, Vol. 34, No. 6, Pp. 886-904, (1997).
7. Eslami, A., Valikhah, F., Veiskarami, M., and Salehi, M., "CPT-Based Investigation for Pile Toe and Shaft Resistances Distribution", *Geotechnical and Geological Engineering*, Vol. 35, No. 6, Pp. 2891-

- 2905, (2017).
8. Meyerhof, G. G., "Some Recent Research on the Bearing Capacity of Foundations", *Canadian Geotechnical Journal*, Vol. 1, No. 1, Pp. 16-26, (1963).
 9. Vesic, A. B., "Bearing Capacity of Deep Foundations in Sand", *Highway Research Record*, Vol. 39, Pp. 112-53, (1963).
 10. Gourvenec, S., and Randolph, M. F., "Consolidation Beneath Circular Skirted Foundations", *International Journal of Geomechanics*, Vol. 10, No. 1, Pp. 22-29, (2010).
 11. Rezazadeh, S., and Eslami, A., "Bearing Capacity of Semi-deep Skirted Foundations on Clay Using Stress Characteristics and Finite Element Analyses", *Marine Georesources & Geotechnology*, Vol. 36, No. 6, Pp. 625-639, (2018).
 12. Esmaili, K., Eslami, A., and Rezazadeh, S., "Semi-deep Skirted Foundations and Numerical Solution to Evaluate Bearing Capacity", *Open Journal of Geology*, Vol. 8, Pp. 623-640, (2018).
 13. Yun, G., and Bransby, M., "The Undrained Vertical Bearing Capacity of Skirted Foundations", *Soils and Foundations*, Vol. 47, No. 3, Pp. 493-505, (2007).
 14. Al-Aghbari, M., and Dutta, R., "Performance of Square Footing with Structural Skirt Resting on Sand", *Geomechanics and Geoengineering: An International Journal*, Vol. 3, No. 4, Pp. 271-277, (2008).
 15. Al-Aghbari, M., and Mohamedzein, Y. E., "Bearing Capacity of Strip Foundations with Structural Skirts", *Geotechnical & Geological Engineering*, Vol. 22, No. 1, Pp. 43-57, (2004).
 16. Al-Aghbari, M., and Mohamedzein, Y. E., "Improving the Performance of Circular Foundations Using Structural Skirts", *Proceedings of the Institution of Civil Engineers-Ground Improvement*, Vol. 10, No. 3, Pp. 125-132, (2006).
 17. Villalobos, F., "Bearing Capacity of Skirted Foundations in Sand", in: *VI Congreso Chileno de Geotecnia*, SOCHIGE, Valparaiso, Pp. 1-14, (2007).
 18. El Sawwaf, M., and Nazer, A., "Behavior of Circular Footings Resting on Confined Granular Soil", *Journal of Geotechnical and Geoenvironmental Engineering*, Vol. 131, No. 3, Pp. 359-366, (2005).
 19. Golmoghani-Ebrahimi, S., and Rowshanzamir, M., "Experimental Evaluation of Bearing Capacity of Skirted Footings", *Civil Engineering and Architecture*, Vol. 1, No. 4, Pp. 103-108, (2013).
 20. Elsaied, A.E., Saleh, N. M., and Elmashad, M.E., "Behavior of Circular Footing Resting on Laterally Confined Granular Reinforced Soil", *HBRC Journal*, Vol. 11, No. 2, Pp. 240-245, (2015).
 21. Eid, H. T., "Bearing Capacity and Settlement of Skirted Shallow Foundations on Sand", *International Journal of Geomechanics*, Vol. 13, No. 5, Pp. 645-652, (2012).
 22. Eid, H. T., Alansari, O. A., Odeh, A. M., Nasr, M. N., and Sadek, H.A., "Comparative Study on the Behavior of Square Foundations Resting on Confined Sand", *Canadian Geotechnical Journal*, Vol. 46, No. 4, Pp. 438-453, (2009).

23. Gholipour, S., and Makarchian, M., "Study of the Behaviour of Skirted Shallow Foundations Resting on Sand", *International Journal of Physical Modelling in Geotechnics*, Vol. 18, No. 3, Pp. 117-130, (2018).
24. Azzam, W., and Farouk, A., "Experimental and Numerical Studies of Sand Slopes Loaded with Skirted Strip Footing", *Electronic Journal of Geotechnical Engineering*, Vol. 15, No. 1, Pp. 795-812, (2010).
25. Bransby, M., and Yun, G. J., "The Undrained Capacity of Skirted Strip Foundations under Combined Loading", *Géotechnique*, Vol. 59, No. 2, Pp. 115-125, (2009).
26. Mana, D. S., Gourvenec, S., and Martin, C. M., "Critical Skirt Spacing for Shallow Foundations under General Loading", *Journal of Geotechnical and Geoenvironmental Engineering*, Vol. 139, No. 9, Pp. 1554-1566, (2009).
27. Das, B. M., "*Principles of Foundation Engineering*", 6th Edition, Thomson, Canada, 445P. (2007).
28. Dean, E. T. R., "*Offshore Geotechnical Engineering: Principles and Practice*", Published by Thomas Telford Limited, London, UK, (2010).
29. Cerato, A., and Lutenecker, A., "Bearing Capacity of Square and Circular Footings on a Finite Layer of Granular Soil Underlain by a Rigid Base", *Journal of Geotechnical and Geoenvironmental Engineering*, Vol. 132, No. 11, Pp. 1496-1501, (2006).
30. Pfeifle, T. W., and Das, B. M., "Model Tests for Bearing Capacity in Sand", *Journal of Geotechnical and Geoenvironmental Engineering*, Vol. 105, Pp. 1112-1116, (1979).
31. Chen, Q., "*An Experimental Study on Characteristics and Behavior of Reinforced Soil Foundation*", PHD Thesis, Louisiana State University, (2007).
32. ASTM Standard, D2487, "Standard Practice for Classification of Soils for Engineering Purposes (Unified Soil Classification System)", ASTM International, West Conshohocken, PA, (2006).
33. Butterfield, R., and Andrawes, K., "An Air Activated Sand Spreader for Forming Uniform Sand Beds", *Geotechnique*, Vol. 20, No. 1, Pp. 97-100, (1970).
34. Rad, N. S., and Tumay, M. T., "Factors Affecting Sand Specimen Preparation by Raining", *Geotechnical Testing Journal*, Vol. 10, No. 1, Pp. 31-37, (1987).
35. Walker, B., and Whitaker, T., "An Apparatus for Forming Uniform Beds of Sand for Model Foundation Tests", *Geotechnique*, Vol. 17, No. 2, Pp. 161-167, (1987).
36. Fellenius, B. H., "The Analysis of Results from Routine Pile Load Tests", *Ground Engineering*, Vol. 13, No. 6, Pp. 19-31, (1980).
37. Winterkorn, H. F., and Fang, H. Y., "*Foundation Engineering Handbook*", New York Van Nostrand Reinhold, Edition 1, Chapter 3, Pp. 121-147, (1975).
38. Terzaghi, K., "*Theoretical Soil Mechanics*", John Wiley & Sons, New York, 510P., (1943).
39. Hansen, J. B., "A Revised and Extended Formula for Bearing Capacity", Danish Geotechnical Institute,

- Bulletin No. 28*, Copenhagen, pp. 5–11, (1970).
40. Janbu, N., "Static Bearing Capacity of Friction Piles", in: *6th European Conference on SMFE*, Vol. 1.2, Pp. 479-88, (1976).
41. Poulos, H. G., and Davis, E. H., "*Elastic Solutions for Soil and Rock Mechanics*", John Wiley & Sons, New York, 411P., (1974).
42. Fox, L., "The Mean Elastic Settlement of a Uniformly Loaded Area at a Depth Below the Ground Surface", in: *Proceedings of 2nd International Conference on Soil Mechanics and Foundation Engineering*, Vol.1, Pp. 129-132, (1948).
43. Nishida, Y., "Vertical Stress and Vertical Deformation of Ground under a Deep Circular Uniform Pressure in the Semi-infinite", in: *1st ISRM Congress*, (1966).